

Г. А. ШЕХОВЦОВ, канд. техн. наук

Горьковский инженерно-строительный институт

## ПОСТРОЕНИЕ ПОДЕРЫ ПРЯМОЙ УГЛОВОЙ ЗАСЕЧКИ

Прямые угловые засечки широко применяются на практике. Однако существующие аналитические способы оценки их точности трудоемки, лишены наглядности и не дают исчерпывающей информации. В настоящей статье предлагается графический способ оценки точности прямой угловой засечки, лишенный этих недостатков.

Примем следующие обозначения:  $T_1, T_2, \dots, T_n$  — исходные пункты с известными координатами;  $a_1, a_2, \dots, a_n$  — дирекционные углы направлений засечки;  $S_1, S_2, \dots, S_n$  — длины сторон засечки;  $\gamma_1, \gamma_2, \dots, \gamma_n$  — углы засечки.

Среднеквадратические ошибки координат и положения точки  $P$  относительно исходных пунктов можно вычислить по формулам:

$$m_x^2 = \frac{[BB]}{[AA][BB] - [AB]^2} m_a^2; \quad m_y^2 = \frac{[AA]}{[AA][BB] - [AB]^2} m_a^2; \quad (1)$$

$$M^2 = m_x^2 + m_y^2 = \frac{[AA] + [BB]}{[AA][BB] - [AB]^2} m_a^2,$$

где  $m_x$  и  $m_y$  — среднеквадратические ошибки координат точки  $P$ ;  $m_\alpha$  — среднеквадратическая ошибка направлений засечки;  $M$  — среднеквадратическая ошибка положения точки  $P$ ;

$$A_i = \frac{\sin \alpha_i}{S_i} \rho; \quad B_i = \frac{\cos \alpha_i}{S_i} \rho; \quad \rho = 206265''.$$

Максимум информации о погрешности положения точки  $P$  (наибольшую и наименьшую ошибки, ошибки по координатным осям и любому другому направлению) может дать кривая средних ошибок — подера среднеквадратического эллипса погрешностей.

Для графического построения подеры необходимо знать большую  $A_0$  и малую  $B_0$  полуоси среднего квадратического эллипса погрешностей (наибольшую и наименьшую ошибки) и дирекционный угол  $\varphi_0$ , большой полуоси. Применимально к рассматриваемому случаю аналитическое решение выполняем по формуле [1]

$$\operatorname{tg} 2\varphi_0 = \frac{2[AB]}{[BB] - [AA]}, \quad (2)$$

причем получаем два значения дирекционного угла, отличающиеся на  $90^\circ$ :  $\varphi_0$  соответствует большой полуоси,  $\varphi_2$  — малой.

При вычислениях по формуле (2) следует придерживаться следующих правил:

1. Если  $2[AB]$  — величина положительная, то при положительном значении дроби (2)  $\varphi_0 = \varphi_0$ ,  $\varphi_2 = 90^\circ + \varphi_0$ , а при отрицательном —  $\varphi_0 = 90^\circ - \varphi_0$ ,  $\varphi_2 = 180^\circ - \varphi_0$ .

2. Если  $2[AB]$  — величина отрицательная, то при положительном значении дроби (2)  $\varphi_0 = 90^\circ + \varphi_0$ ,  $\varphi_2 = \varphi_0$ , а при отрицательном —  $\varphi_0 = 180^\circ - \varphi_0$ ,  $\varphi_2 = 90^\circ - \varphi_0$ .

$$A_0^2 = \frac{m_\alpha^2}{[AA] - [AB] \operatorname{tg} \varphi_0}; \quad B_0 = \frac{m_\alpha^2}{[AA] - [AB] \operatorname{tg} \varphi_0}. \quad (3)$$

По известным значениям  $A_0$ ,  $B_0$ ,  $\varphi_0$  можно построить подеру по методике, описанной, например, в работах [1, 2].

Вычисления по формулам (1), (2), (3) громоздки, поэтому разработан графический способ построения подеры, который не требует аналитических расчетов, прост в исполнении и по точности не уступает аналитическому.

Рассмотрим простую угловую засечку (рис. 1). В данном случае формулы (1) с учетом коэффициентов  $A_i$  и  $B_i$  примут вид:

$$m_x^2 = \frac{m_\alpha^2}{\rho^2 \sin^2 \gamma} \{S_1^2 \cos^2 \alpha_2 + S_2^2 \cos^2 \alpha_1\}; \quad (4)$$

$$m_y^2 = \frac{m_\alpha^2}{\rho^2 \sin^2 \gamma} \{S_1^2 \sin^2 \alpha_2 + S_2^2 \sin^2 \alpha_1\}; \quad M^2 = \frac{m_\alpha^2}{\rho^2 \sin^2 \gamma} \{S_1^2 + S_2^2\}.$$

Подера имеет с эллипсом четыре общие точки 1, 2, 3 и 4. Они соответствуют экстремальным значениям погрешностей положения точки  $P$ . Здесь  $\overline{P-1} = \overline{P-2} = A_0$ ,  $\overline{P-3} = \overline{P-4} = B_0$ . Эллипс вписан в параллелограмм, стороны которого параллельны сторонам засечки и отстоят от последних на расстоянии  $\frac{m_a S_i}{\rho}$ . Таким образом, сторонами параллелограмма являются линии крайних положений точки  $P$ , а величины  $\frac{m_a S_i}{\rho}$  характеризуют поперечные смещения этой точки.

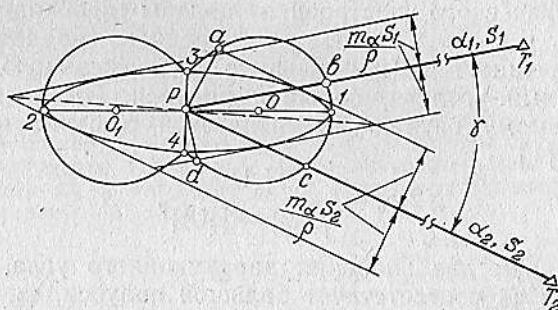


Рис. 1. Средний квадратический эллипс погрешностей и подера простой угловой засечки.

Отличительной особенностью подеры является следующее. Если через точку  $P$  провести две взаимно перпендикулярные прямые, то расстояния между точками пересечения этих прямых с подерой характеризует ошибку положения точки  $P$ . Так,  $3-1=3-2=ac=db=M$ .

Кривая  $abcd$  является дугой окружности с центром  $O$ , лежащим на большой полуоси эллипса. В общем случае ( $S_1 \neq S_2$ ) направления большой оси эллипса и большой диагонали параллелограмма не совпадают. Совпадение их возможно лишь при равенстве сторон засечки.

Из сказанного следует, что задача построения подеры простой угловой засечки сводится к отысканию по точкам  $a$ ,  $b$ ,  $c$  и  $d$  центра окружности  $O$ . Графически эта задача решается следующим образом (рис. 2).

В произвольно выбранной точке  $P$  строим угол засечки  $\gamma$ . На сторонах этого угла откладываем длины  $S_1$  и  $S_2$  в масштабе 1:25000 и получаем точки  $T_1$  и  $T_2$ . В точке  $P$  восстанавливаем перпендикуляры к направлениям засечки. Откладываем на них в масштабе 1:1 отрезки  $P_a = \frac{m_a S_2}{\rho}$  и  $P_d = \frac{m_a S_1}{\rho}$ .

В точке  $T_2$  восстанавливаем перпендикуляр к линии  $PT_2$ , на котором откладываем  $S_1$  и получаем точку  $D$ . Расстояние  $PD =$

$= \sqrt{S_1^2 + S_2^2}$ . Проводим на расстоянии, равном  $PD$ , линию, параллельную  $PT_2$ , до пересечения в точке  $E$  с продолжением малой стороны засечки, следовательно,  $PE = \frac{\sqrt{S_1^2 + S_2^2}}{\sin \gamma}$ . Через точку  $E$  проводим линию, параллельную  $T_1d$ , до пересечения с продолжением прямой  $Pd$  в точке  $e$ . В результате получаем  $Pe = \frac{m_a \sqrt{S_1^2 + S_2^2}}{\rho \sin \gamma} = M$ .

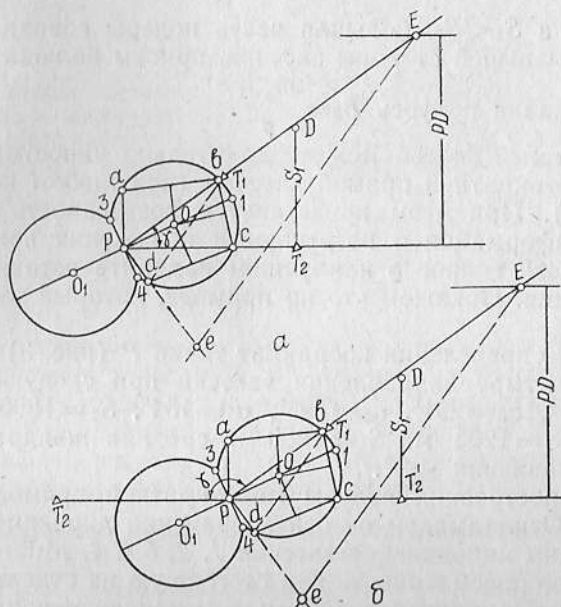


Рис. 2. Порядок построения подеры при остром (а) и тупом (б) углах простой угловой засечки.

Проводя из точек  $a$  и  $d$  как из центров дуги окружности радиуса  $M$  до пересечения в первом случае с большой стороной засечки, а во втором — с малой, получаем точки  $c$  и  $b$ . Соединив точки  $a$  и  $b$ ,  $b$  и  $c$ ,  $c$  и  $d$  и восстановив в середине отрезков  $ab$ ,  $bc$  и  $cd$  перпендикуляры, в пересечении их найдем точку  $O$ . Из этой точки как из центра проводим дугу окружности  $abcd$ .

Проводя через  $P$  и  $O$  прямую, получим направление большой оси, а перпендикулярным ей будет направление малой оси. Точки  $3$  и  $4$  можно найти, проведя из точки  $1$  как из центра дуги окружности радиуса  $M$  до пересечения с малой осью подеры. Соединив плавными кривыми точки  $3$  и  $4$  с  $a$  и  $d$ , имеем правую часть подеры.

Левую часть подеры нетрудно построить, отложив на большей оси отрезок  $PO_1 = PO$ . Точка  $O_1$  является центром окружности левой части подеры.

Когда угол засечки тупой (рис. 2, б), необходимо на продолжении большей стороны найти точку  $T'_2$  на расстоянии  $S_2$  от точки  $P$ , а затем все построения выполнить по приведенной методике.

Если угол засечки равен  $90^\circ$ , а  $S_1 = S_2$ , подера обращается в окружность с центром в точке  $P$  и радиусом, равным  $\frac{m_a S_1}{\rho}$ .

При  $\gamma = 90^\circ$ , а  $S_1 < S_2$ , большая часть подеры совпадает с направлением меньшей стороны засечки, причем большая полуось  $A_0 = \frac{m_a S_2}{\rho}$ , малая полуось  $B_0 = \frac{m_a S_1}{\rho}$ .

Предлагаемый способ может значительно упростить оценку точности многократной прямой засечки (при любом количестве направлений). При этом представится возможность получать максимум информации о погрешности положения вставляемой точки и решать вопрос о наилучшем варианте вставки при ее проектировании. Покажем это на примере, который взят из работы [2].

Здесь для определения координат точки  $P$  (рис. 3) были использованы четыре направления засечки при следующих данных:  $a_1 = 321^\circ$ ,  $a_2 = 291^\circ$ ,  $a_3 = 193^\circ$ ,  $a_4 = 154^\circ$ ,  $S_1 = 1800$  м,  $S_2 = 1500$  м,  $S_3 = 1200$  м,  $S_4 = 1250$  м, средняя квадратическая ошибка направления  $\pm 3''$ .

Порядок построения подеры многократной прямой засечки следующий. Откладываем от оси  $x$  значения дирекционных углов и проводим направления засечки 1, 2, 3 и 4. Многократную засечку можно рассматривать как состоящую из отдельных простых засечек. По приведенной выше методике строим подеры простых засечек, а именно:  $(1-P-2)$ ,  $(2-P-3)$  и  $(3-P-4)$ . Обработка математических моделей засечек показала, что результирующая подера многократной засечки располагается внутри фигуры, площадь которой является общей для подер простых засечек, составляющих многократную.

В нашем примере  $a$ ,  $b$ ,  $c$ ,  $d$ ,  $e$ ,  $f$  являются точками подеры  $(1-2-3-4)$  многократной засечки. Для построения этой подеры соединяем  $a$  с  $b$  и  $f$ , восстанавливаем из середины отрезков  $ab$  и  $af$  перпендикуляры, в пересечении которых получаем центр одной части подеры. Построение другой части подеры не представляет трудности. Отметим, что точки  $b$  и  $e$  принадлежат подере  $(1-P-2)$ , точки  $c$  и  $f$  — подере  $(3-P-4)$ , точки  $a$  и  $d$  — точки подеры  $(2-P-3)$  в местах ее пересечения с линиями крайних положений, параллельных самой короткой стороне засечки.

Произведя оценку точности графическим способом, мы получили следующие результаты в миллиметрах (см. таблицу).

В таблице также показаны данные, полученные проф. Ф. Ф. Павловым [2] и для сравнения приведены результаты аналитических расчетов по формулам (2) и (3).

Из таблицы видно, что расхождение результатов, полученных графически и аналитически, незначительно и находится в пределах точности построения подеры. Кроме того, отметим, что

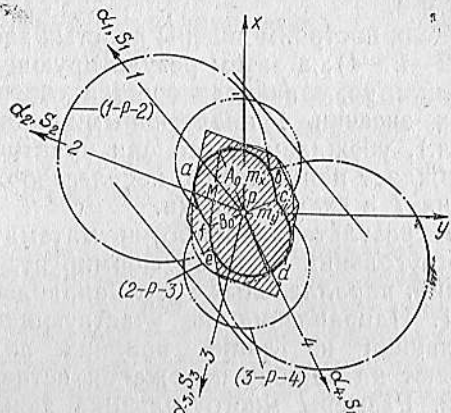


Рис. 3. Порядок построения подеры многократной угловой засечки.

достоинство предлагаемого способа по сравнению со способами, описанными в работах [1, 2], состоит в том, что нет необходимости строить инверсионную фигуру и инверсионный квадратический полигон, не нужно вычислять площади инверсионных треугольников и выполнять аналитические расчеты для того, чтобы построить результирующую подеру.

#### Результаты оценки точности прямой угловой засечки графическим и аналитическим способами

Подера	Графический способ						Аналитический способ			
	$A_0$	$B_0$	$m_x$	$m_y$	$M$	$\varphi_0$	$A_0$	$B_0$	$M$	$\varphi_0$
(1—P—2)	65,5	17,0	39,0	56,0	67,8	123°00'	66,2	17,3	68,4	123°01'
(2—P—3)	23,0	16,5	22,8	16,7	28,0	358°20'	21,5	18,4	28,9	0°55'
(3—P—4)	38,0	13,5	38,0	14,7	40,3	175°00'	37,8	13,4	40,2	174°26'
(2—P—4)	39,0	15,0	30,0	29,8	41,8	137°10'	38,9	15,0	41,7	137°16'
(1—2—3—4)	21,8	11,0	20,0	13,5	24,0	156°00'	20,7	11,5	23,6	156°38'
(2—3—4)	21,9	13,0	21,0	14,0	25,3	160°40'	21,3	12,7	23,8	162°04'
По [2]	20,8	10,4	18,7	13,6	23,1	156°50'				

Как показано на рис. 3, подера многократной засечки расположена внутри многоугольника, который формируют линии крайних положений точки  $P$ . Эти линии параллельны сторонам засечки и отстоят от них на величину поперечного смещения  $m_a S_i$ .

$\rho$

В нашем примере (рис. 3) этот многоугольник образуют лишь линии, параллельные сторонам 2, 3 и 4, засечки. Линии, параллельные стороне 1, не участвуют в формировании данного многоугольника. Это говорит о том, что включение направления 1 в схему засечки не повышает точности определения точки  $P$  по сравнению со схемой, состоящей всего из трех направлений 2, 3 и 4.

Если построим подеры простых засечек  $(2-P-3)$ ,  $(3-P-4)$  и  $(2-P-4)$ , а затем результирующую подеру  $(2-3-4)$  такой засечки, то, сравнивая ошибки точки  $P$  при четырех направлениях засечки с аналогичными при трех направлениях (см. табл.), убеждаемся, что они практически одинаковы. Это подтверждает наш вывод о нецелесообразности включения направления 1 в схему засечки.

В результате обработки математических моделей засечек, многоугольник которых формируется из линий крайних положений, параллельных трем направлениям засечки, установлено:

1. Направления, не участвующие в формировании многоугольника из линий крайних положений, существенно не влияют на ошибку положения вставляемой точки.

2. Размеры многоугольника зависят от ошибок измерения углов, от схемы засечки и длин ее сторон. Чем эти размеры меньше, тем положение засекаемой точки определяется точнее.

3. Подера многократной засечки ориентируется примерно по длинной диагонали многоугольника и касается линий крайних положений (точки  $a$  и  $d$ ), параллельных самой короткой стороне засечки (при равноточном измерении углов).

Эти выводы и предлагаемая методика построения подер могут быть использованы при проектировании вставки точки прямой угловой засечкой, при решении вопроса о наилучшем варианте засечки и при оценке ее точности.

**Список литературы:** 1. Кель Н. Г. Графический метод в действиях с погрешностями и положениями. М., Изд-во АН СССР, 1948. 2. Павлов Ф. Ф. Предвычисление погрешностей в основных маркшейдерских работах. М., Углехиздат, 1950.

Работа поступила в редколлегию 12 апреля 1976 года. Рекомендована кафедрой инженерной геодезии Горьковского инженерно-строительного института.